

Fig. 2-26. Tracciamento approssimativo della linea di saturazione in una diga di terra omogenea su fondazione impermeabile, in condizioni di serbatoio pieno: a) senza filtri; b) con tappeto filtrante.

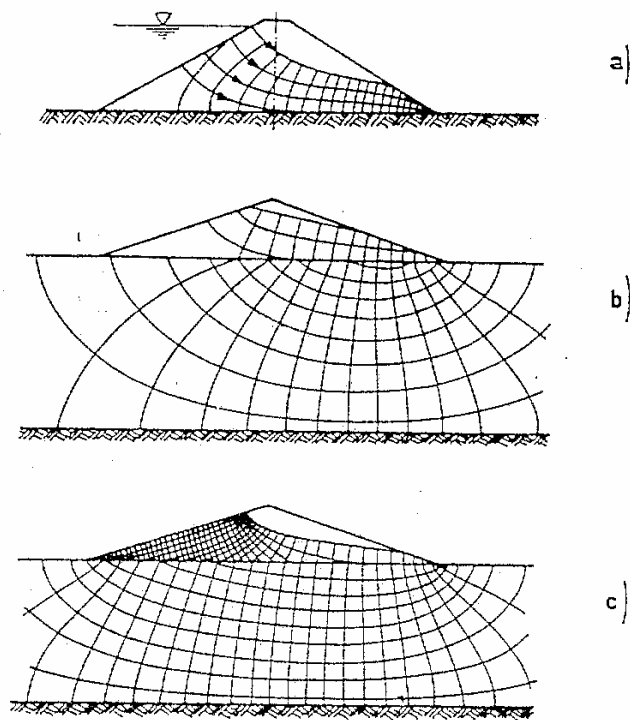


Fig. 2-24. Reti idrodinamiche del moto di filtrazione attraverso dighe di terra omogenee, in condizioni di serbatoio pieno: a) su fondazione impermeabile; b) su fondazione 10 volte più permeabile del rilevato; c) su fondazione 10 volte meno permeabile del rilevato; le figg. b e c sono tratte da [97].

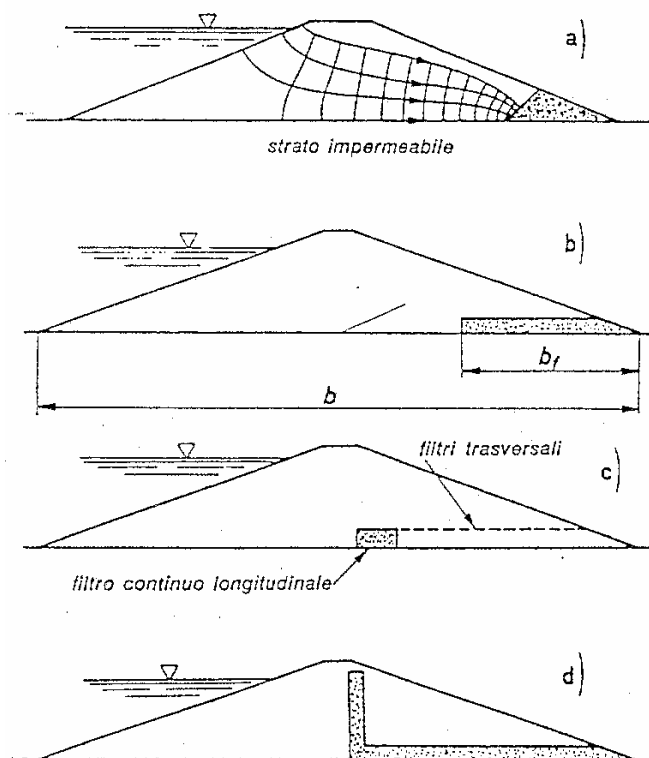
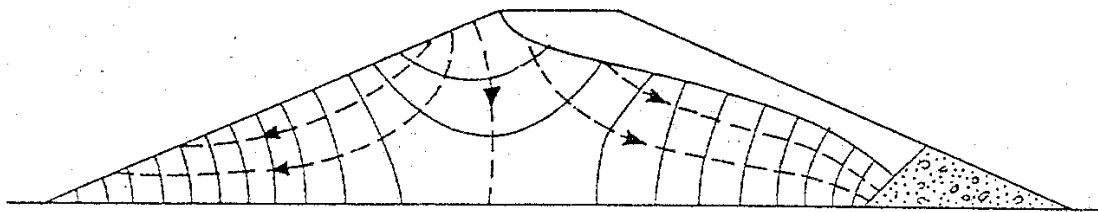


Fig. 2-25. Disposizioni dei filtri nelle dighe di terra omogenee: a) filtro all'unglia di valle [98]; b) tappeto filtrante; c) filtro a pettine; d) filtro a camino [95].



----- linee di corrente  
 ——— linee equipotenziali

Fig. 2-28. Rete idrodinamica di una diga di terra per il transitorio successivo a un rapido svuotamento [98].

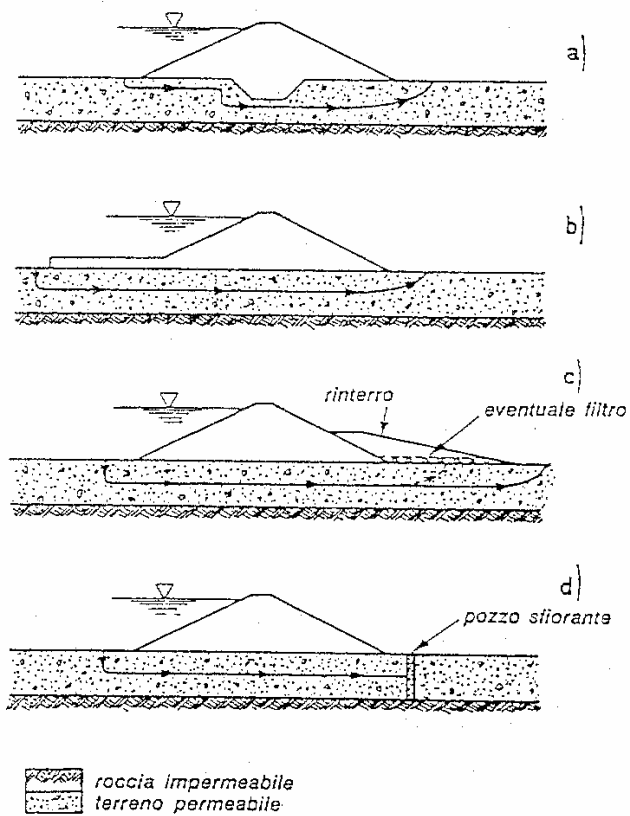
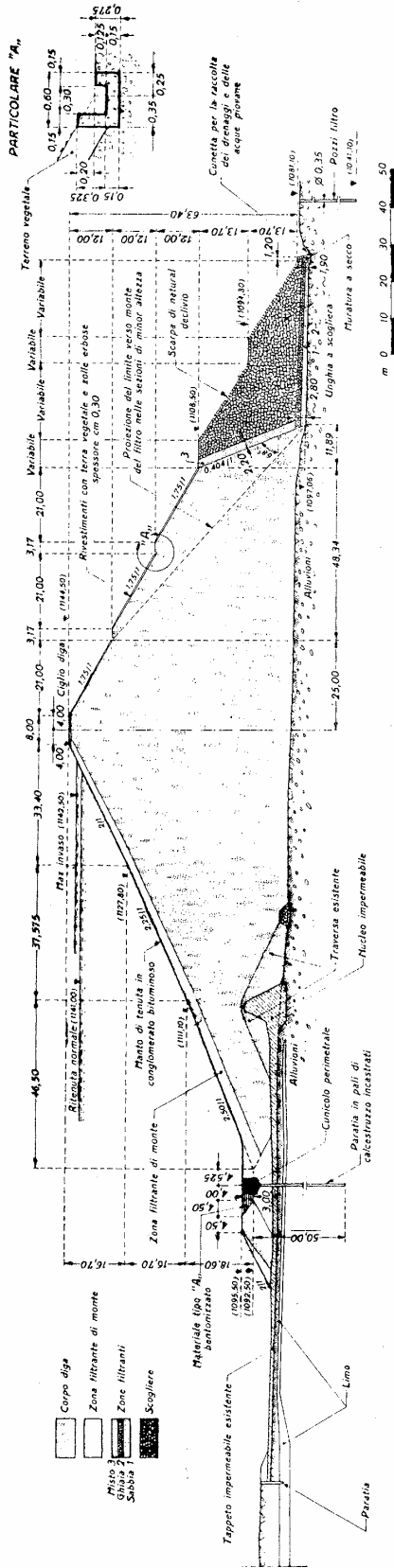
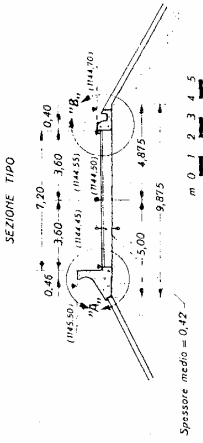


Fig. 2-29. Provvedimenti per ridurre le filtrazioni al di sotto di dighe di terra prive di taglione che attraversi completamente lo strato di terreno permeabile: a) taglione penetrante parzialmente nello strato permeabile; b) tappeto impermeabile a monte; c) rinterro a valle; d) pozzi sfioranti [95].

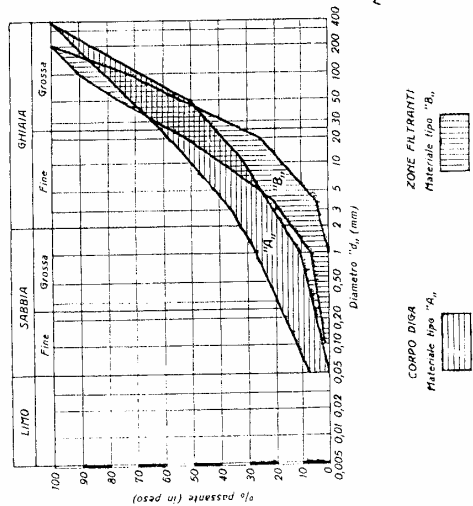
**SEZIONE TRASVERSALE TIPO**



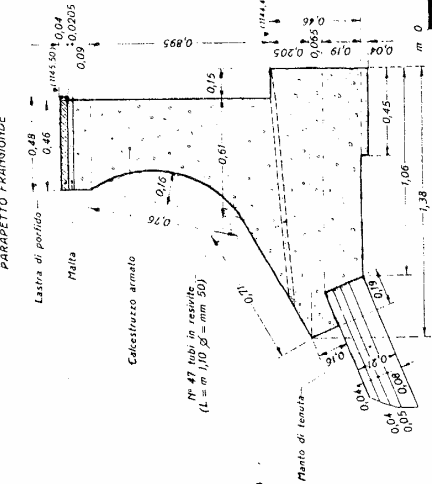
**PARTICOLARI DEL CORONAMENTO**



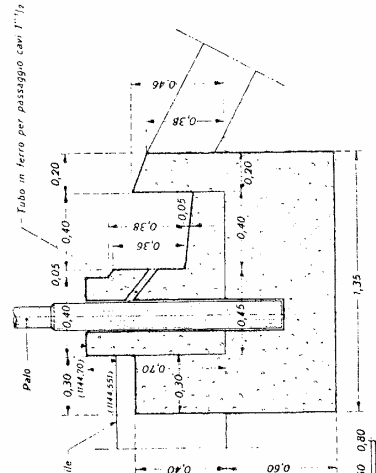
**FASCE GRANULOMETRICHE DEI MATERIALI PER IL CORPO DIGA E PER LE ZONE FILTRANTI**



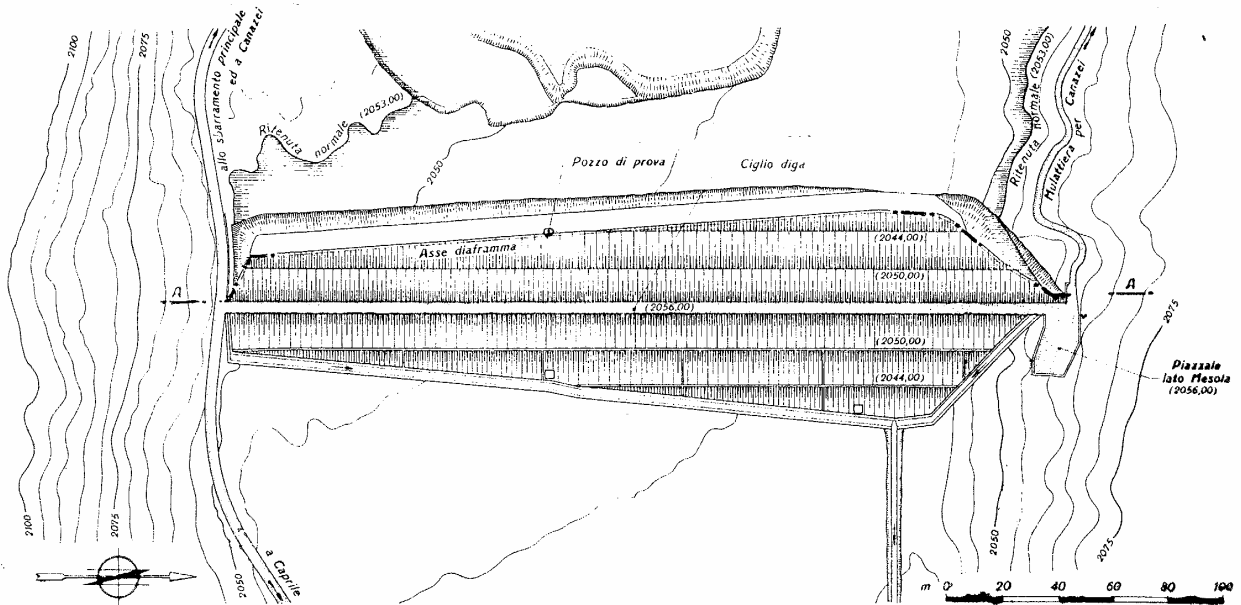
**PARTICOLARE "A", PARAPETTO FRANGIOMBO**



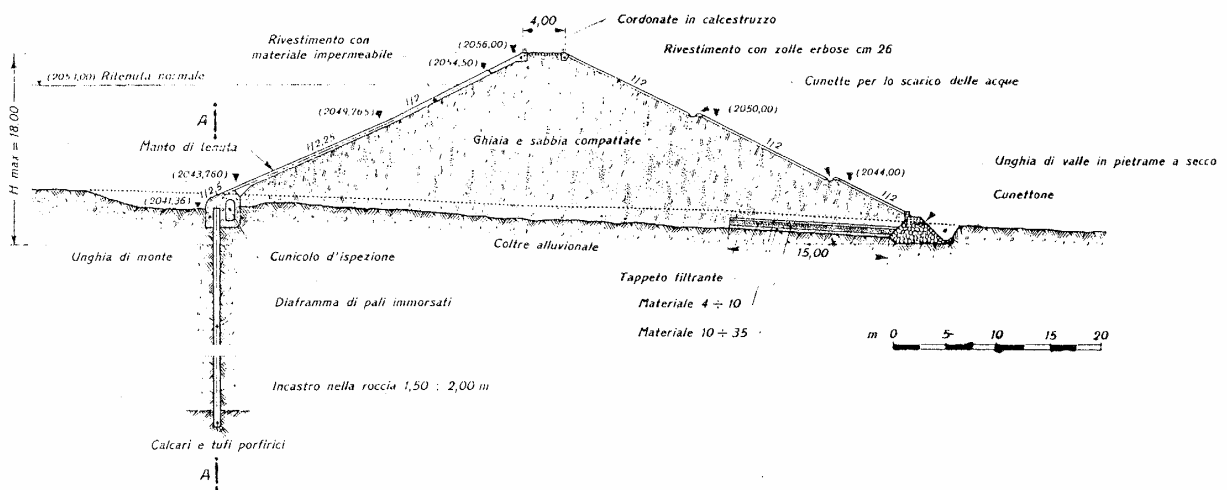
**PARTICOLARE "B", CANALETTA PORTACAVI CON PALINA PER ILLUMINAZIONE**



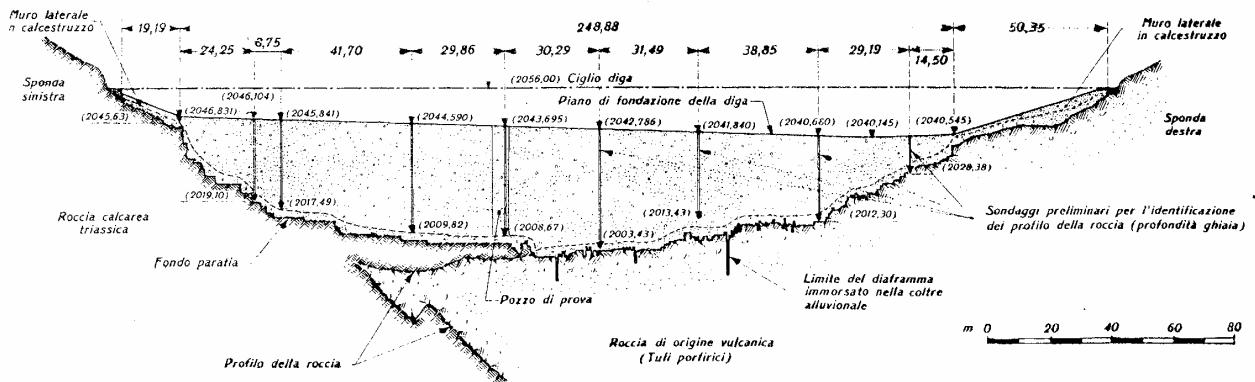
**DIGA DI MARIA AL LAGO**  
PLANIMETRIA

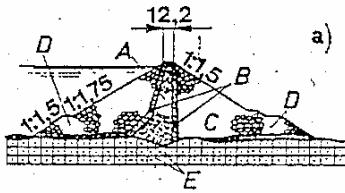


**SEZIONE TIPO**

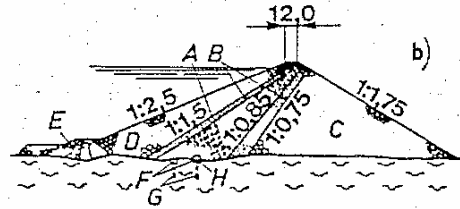


**SEZIONE LONGITUDINALE A - A SVILUPPATA IN ASSE AL DIAFRAMMA**

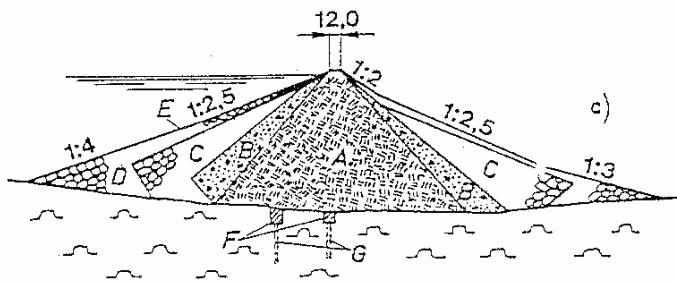




a) Akosombo (Ghana, 1965):  $H = 112,9$  m;  $L = 640$  m.  
 A, nucleo di terra argillosa;  
 B, filtri di sabbia;  
 C, scogliera;  
 D, avandiga e retrodiga;  
 E schermo d'iniezioni.



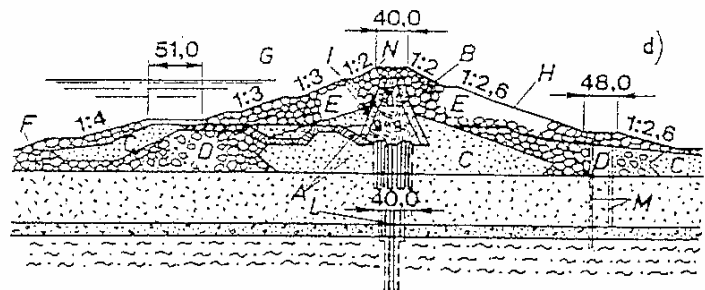
b) Miboro (Giappone, 1960):  $H = 131$  m;  $L = 436$  m.  
 A, nucleo inclinato di limo;  
 B, filtri;  
 C, scogliera di granito;  
 D, scogliera di grossi massi;  
 E, avandiga;  
 F, diaframmi in calcestruzzo;  
 G, schermo d'iniezioni;  
 H, galleria d'ispezione.



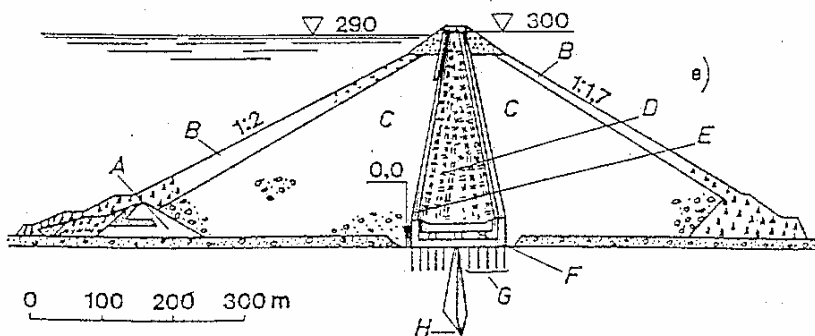
c) Trinity (USA, 1962):  $H = 164$  m;  $L = 745$  m.  
 A, nucleo di limo;  
 B, filtri di ghiaia sabbiosa naturale;  
 C, scogliera di grossi massi;  
 D, ciottoli;  
 E, rivestimento di grossi scapoli di roccia;  
 F, diaframmi in calcestruzzo;  
 G, schermo d'iniezioni.

d) Assuan (Egitto, in costruzione):  $H = 111$  m;  $L = 3\,600$  m.

- A, nucleo e tappeto d'argilla;
- B, filtri a tre strati di sabbia grossa e frammenti di roccia;
- C, sabbia di duna compattata;
- D, scapoli di roccia superiori a 150 mm, con vuoti riempiti idraulicamente di sabbia;
- E, scogliera compattata con getti d'acqua;
- F, scogliera gettata sott'acqua;
- G, rivestimento in grossi scapoli di roccia;
- H, pavimentazione;
- I, tre gallerie in c.a.;
- L, schermo d'iniezioni profondo 180 m;
- M, fori di drenaggio;
- N, rivestimento in lastre di calcestruzzo.



e) Nurekskaya (URSS, in costruzione):  $H = 310$  m;  $L = 875$  m.



- A, avandiga e retrodiga di scogliera;
- B, zona di paramento;
- C, scogliera;
- D, nucleo sabbioso-argilloso;
- E, filtri;
- F, tampone di calcestruzzo;
- G, iniezioni cementizie;
- H, diaframma.

Fig. 2-31. Esempi di dighe di scogliera con nucleo di terra ( $H$ , altezza massima;  $L$ , lunghezza al coronamento).